

電力システム解析論

第3回 送電線路のインダクタンス2 平成20年10月17日

2008/10/17

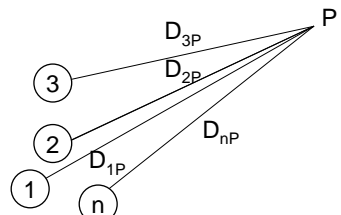
電力システム解析論

1

多条導体のインダクタンス

- 導体1,2,3…nの電流I₁,I₂,I₃,…I_n
- 或る点Pから各導体の距離D_{1P},D_{2P},D_{3P}…D_{nP}
 - 電流I₁による導体1に対する鎖交磁束 ψ_{1P1} (WbT/m)(内部鎖交磁束を含むが、点Pを超える部分の鎖交磁束を含まない)

$$\begin{aligned}\psi_{1P1} &= I_1 \left(\frac{1}{2} + 2 \log_e \frac{D_{1P}}{r'_1} \right) \times 10^{-7} \\ &= I_1 2 \times 10^{-7} \times \log_e \frac{D_{1P}}{r'_1}\end{aligned}$$



2008/10/17

電力システム解析論

2

多条導体のインダクタンス

- 電流 I_2 による導体1に対する鎖交磁束 ψ_{1P2} (WbT/m)(点Pを超える部分の鎖交磁束を含まない)

- 導体1を超え、点Pを越えない部分に鎖交する磁束

$$\psi_{1P2} = I_2 \log_e \frac{D_{2P}}{D_{12}} \times 2 \times 10^{-7}$$

- 全導体に流れる電流により、導体1に鎖交する全磁束 ψ_{1P} (WbT/m)(点Pを超える部分の鎖交磁束を含まない)

$$\begin{aligned}\psi_{1P} &= \psi_{1P1} + \psi_{1P2} + \psi_{1P3} + \dots + \psi_{1Pn} \\ &= \left(I_1 \log_e \frac{D_{1P}}{r'_1} + I_2 \log_e \frac{D_{2P}}{D_{12}} + I_3 \log_e \frac{D_{3P}}{D_{13}} + \dots + I_n \log_e \frac{D_{nP}}{D_{1n}} \right) \times 2 \times 10^{-7}\end{aligned}$$

2008/10/17

電力システム解析論

3

多条導体のインダクタンス

• 対数の展開

$$\psi_{1P} = \left(I_1 \log_e D_{1P} + I_2 \log_e D_{2P} + I_3 \log_e D_{3P} + \dots + I_n \log_e D_{nP} \right) + \left(I_1 \log_e \frac{1}{r'_1} + I_2 \log_e \frac{1}{D_{12}} + I_3 \log_e \frac{1}{D_{13}} + \dots + I_n \log_e \frac{1}{D_{1n}} \right) \times 2 \times 10^{-7}$$

• 電流の条件

$$\begin{aligned}I_1 + I_2 + I_3 + \dots + I_n &= 0 \quad \Rightarrow \quad I_n = -(I_1 + I_2 + I_3 + \dots + I_{n-1}) \\ \psi_{1P} &= \left(I_1 \log_e D_{1P} + I_2 \log_e D_{2P} + I_3 \log_e D_{3P} + \dots + I_{n-1} \log_e D_{(n-1)P} \right) + \left(I_1 \log_e \frac{1}{r'_1} + I_2 \log_e \frac{1}{D_{12}} + I_3 \log_e \frac{1}{D_{13}} + \dots + I_{n-1} \log_e \frac{1}{D_{1(n-1)}} \right) \times 2 \times 10^{-7} \\ &= \left(I_1 \log_e \frac{D_{1P}}{D_{nP}} + I_2 \log_e \frac{D_{2P}}{D_{nP}} D_{2P} + I_3 \log_e \frac{D_{3P}}{D_{nP}} D_{3P} + \dots + I_{n-1} \log_e \frac{D_{(n-1)P}}{D_{nP}} D_{(n-1)P} \right) + \left(I_1 \log_e \frac{1}{r'_1} + I_2 \log_e \frac{1}{D_{12}} + I_3 \log_e \frac{1}{D_{13}} + \dots + I_{n-1} \log_e \frac{1}{D_{1(n-1)}} \right) \times 2 \times 10^{-7}\end{aligned}$$

2008/10/17

電力システム解析論

4

多条導体のインダクタンス

- $P \rightarrow \infty$ として導体1に鎖交する磁束 ψ_1 (WbT/m)

$$\lim_{P \rightarrow \infty} \log_e \frac{D_{iP}}{D_{nP}} = \log_e 1 = 0$$

$$\psi_1 = \left(I_1 \log_e \frac{1}{r'_1} + I_2 \log_e \frac{1}{D_{12}} + I_3 \log_e \frac{1}{D_{13}} + \dots + I_n \log_e \frac{1}{D_{1n}} \right) \times 2 \times 10^{-7}$$

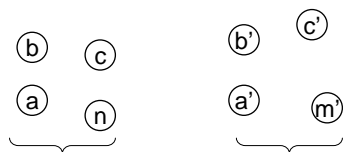
2008/10/17

電力システム解析論

5

多条導体送電線

- 細い電線インダクタンス大きい
- 太い電線インダクタンス小さい
 - 太い電線を使用するのは効果的でない
 - 等価的に電線を太くする方法
 - 単相2線式送電線路を考える



- 導体Xを一様なn個の導体で構成。各導体には電流 I/n (A) が流れる
- 導体Yを一様なm個の導体で構成。各導体には電流 $-I/m$ (A) が流れる
- 導体間距離を D_{ij} と表す

2008/10/17

電力システム解析論

6

多条導体送電線

- 導体xの素導体aに対する鎖交磁束 ψ_a (WbT/m)

$$\begin{aligned}\psi_a &= \frac{I}{n} \left(\log_e \frac{1}{r'_a} + \log_e \frac{1}{D_{ab}} + \log_e \frac{1}{D_{ac}} \cdots + \log_e \frac{1}{D_{an}} \right) \times 2 \times 10^{-7} \\ &\quad - \frac{I}{m} \left(\log_e \frac{1}{D_{aa'}} + \log_e \frac{1}{D_{ab'}} + \log_e \frac{1}{D_{ac'}} \cdots + \log_e \frac{1}{D_{an'}} \right) \times 2 \times 10^{-7} \\ &= I \log_e \frac{\sqrt[m]{D_{aa'} D_{ab'} D_{ac'} \cdots D_{an'}}}{\sqrt[n]{r'_a D_{ab} D_{ac} \cdots D_{an}}} \times 2 \times 10^{-7}\end{aligned}$$

2008/10/17

電力システム解析論

7

多条導体送電線

- 導体xの素導体aのインダクタンス L_a (H/m)

- 流れる電流が I/n (A)より

$$L_a = \frac{\psi_a}{I/n} = n \log_e \frac{\sqrt[m]{D_{aa'} D_{ab'} D_{ac'} \cdots D_{an'}}}{\sqrt[n]{D_{aa} D_{ab} D_{ac} \cdots D_{an}}} \times 2 \times 10^{-7} \quad r'_a = D_{aa}$$

- 導体xの素導体bのインダクタンス L_b (H/m)

$$L_b = \frac{\psi_b}{I/n} = n \log_e \frac{\sqrt[m]{D_{ba'} D_{bb'} D_{bc'} \cdots D_{bn'}}}{\sqrt[n]{D_{ba} D_{bb} D_{bc} \cdots D_{bn}}} \times 2 \times 10^{-7} \quad r'_b = D_{bb}$$

- 導体xの素導体のインダクタンス平均値 L_{av} (H/m)

$$L_{av} = \frac{L_a + L_b + L_c \cdots + L_n}{n}$$

2008/10/17

電力システム解析論

8

多条導体送電線

- 導体xのインダクタンス $L_x(H/m)$

- 全ての素導体が等しいインダクタンス $L_{av}(H/m)$ を持つ
- n本の素導体の並列接続
- 総インダクタンスは平均インダクタンス L_{av} の $1/n$

$$L_x = \frac{L_{av}}{n} = \frac{L_a + L_b + L_c + \dots + L_n}{n^2}$$
$$= \frac{\sqrt[mn]{(D_{aa'}D_{ab'}\dots D_{am})(D_{ba'}D_{bb'}\dots D_{bm})\dots(D_{na'}D_{nb'}\dots D_{nm})}}{\sqrt[n^2]{(D_{aa}D_{ab}\dots D_{an})(D_{ba}D_{bb}\dots D_{bn})\dots(D_{na}D_{nb}\dots D_{nn})}} \times 2 \times 10^{-7}$$

2008/10/17

電力システム解析論

9

多条導体送電線

- 分子

- 導体xのn個の素導体から導体yのm個の素導体への距離の積のmn乗根
 - 導体xと導体y間の幾何学的平均距離 D_m (GMD: geometrical mean distance), 二導体間の相互GMD

$$D_m = \sqrt[mn]{(D_{aa'}D_{ab'}\dots D_{am})(D_{ba'}D_{bb'}\dots D_{bm})\dots(D_{na'}D_{nb'}\dots D_{nm})}$$

- 分母

- 導体xのn個の素導体から各素導体への距離の積のn2乗根
 - 素導体自身間の距離 D_{ii} は実効半径 $r'a$
 - 導体xの幾何学的平均半径 r' (GMR: geometrical mean radius), 導体の自己GMD: D_s

$$D_s = \sqrt[n^2]{(D_{aa}D_{ab}\dots D_{an})(D_{ba}D_{bb}\dots D_{bn})\dots(D_{na}D_{nb}\dots D_{nn})}$$

$$L_x = \frac{D_m}{D_s} \times 2 \times 10^{-7}$$

2008/10/17

電力システム解析論

10

三相送電線のインダクタンス 等間隔配置

- 導体aの鎖交磁束 ψ_a (WbT/m)

$$\psi_a = \left(I_a \log_e \frac{1}{D_s} + I_b \log_e \frac{1}{D} + I_c \log_e \frac{1}{D} \right) \times 2 \times 10^{-7}$$

- 三相平衡

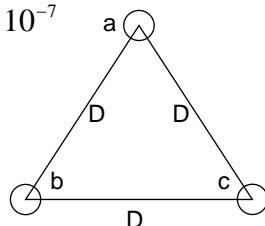
- 電流条件 $I_a + I_b + I_c = 0$

$$I_a = -(I_b + I_c)$$

- 導体aのインダクタンス L_a (H/m)

$$\psi_a = \left(I_a \log_e \frac{1}{D_s} - I_a \log_e \frac{1}{D} \right) \times 2 \times 10^{-7} = I_a \log_e \frac{D}{D_s} \times 2 \times 10^{-7}$$

$$L_a = \log_e \frac{D}{D_s} \times 2 \times 10^{-7}$$



2008/10/17

電力システム解析論

11

三相送電線のインダクタンス 不等間隔配置・撲架

- 鉄塔に送電線を配置する場合、不等間隔配置となる



- a相の鎖交磁束

$$\text{• 区間1 } \psi_{a1} = \left(I_a \log_e \frac{1}{D_s} + I_b \log_e \frac{1}{D_{12}} + I_c \log_e \frac{1}{D_{31}} \right) \times 2 \times 10^{-7}$$

$$\text{• 区間2 } \psi_{a2} = \left(I_a \log_e \frac{1}{D_s} + I_b \log_e \frac{1}{D_{23}} + I_c \log_e \frac{1}{D_{12}} \right) \times 2 \times 10^{-7}$$

$$\text{• 区間3 } \psi_{a3} = \left(I_a \log_e \frac{1}{D_s} + I_b \log_e \frac{1}{D_{31}} + I_c \log_e \frac{1}{D_{23}} \right) \times 2 \times 10^{-7}$$

2008/10/17

電力システム解析論

12

三相送電線のインダクタンス 不等間隔配置・撲架

- a相の鎖交磁束平均値

$$\begin{aligned}\psi_a &= \frac{\psi_{a1} + \psi_{a2} + \psi_{a3}}{3} \\ &= \left(3I_a \log_e \frac{1}{D_s} + I_b \log_e \frac{1}{D_{12} D_{23} D_{31}} + I_c \log_e \frac{1}{D_{12} D_{23} D_{31}} \right) \times \frac{2 \times 10^{-7}}{3}\end{aligned}$$

- 三相平衡 $I_a = -(I_b + I_c)$

$$\begin{aligned}\psi_a &= \left(3I_a \log_e \frac{1}{D_s} - I_a \log_e \frac{1}{D_{12} D_{23} D_{31}} \right) \times \frac{2 \times 10^{-7}}{3} \\ &= I_a \log_e \frac{\sqrt[3]{D_{12} D_{23} D_{31}}}{D_s} \times 2 \times 10^{-7} \quad \text{GMD} \quad D_{eq} = \sqrt[3]{D_{12} D_{23} D_{31}}\end{aligned}$$

2008/10/17

電力システム解析論

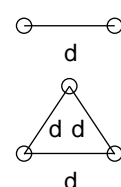
13

送電線の多導体化

- 送電線の等価半径(GMR)を大きくしてコロナ放電を防ぐ

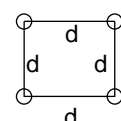
- 二導体 GMR

$$D_s^b = \sqrt[4]{(D_s d)^2} = \sqrt{D_s d}$$



- 三導体 GMR

$$D_s^b = \sqrt[9]{(D_s dd)^3} = \sqrt[3]{D_s d^2}$$



- 四導体 GMR

$$D_s^b = \sqrt[16]{(D_s \sqrt{2}ddd)^4} \cong 1.09 \sqrt[4]{D_s d^3}$$

2008/10/17

電力システム解析論

14